

الگوی توزیع ارتفاعی بار زلزله برای قاب‌های خمشی فولادی با درنظر گرفتن رفتار غیرخطی اعضاء

موسی محمودی صاحبی^۱، محمدامین فجه مینه^۲

۱- دانشیار، دانشکده مهندسی عمران، دانشگاه تربیت دبیر شهید رجایی، تهران، ایران

۲- کارشناس ارشد مهندسی زلزله، دانشکده مهندسی عمران، دانشگاه تربیت دبیر شهید رجایی، تهران، ایران

چکیده

در تحلیل استاتیکی معادل، نیروی زلزله، بر اساس الگوی ساده در ارتفاع سازه توزیع می‌شود. هرچه این توزیع به واقعیت نزدیک‌تر باشد دقت تحلیل و طراحی سازه بیشتر خواهد بود. در این تحقیق با درنظر گرفتن رفتار غیرخطی اعضاء، یک رابطه جدید برای توزیع بارگذاری زلزله در ارتفاع پیشنهاد شده است. برای نیل به این هدف چندین قاب خمشی ۳، ۵، ۷، ۱۰ و ۱۵ طبقه که بر اساس آینه‌نامه‌های رایج کشور طراحی شده‌اند، انتخاب گردیدند و توزیع بارگذاری ارتفاعی آن‌ها با استفاده از تحلیل تاریخچه زمانی غیرخطی فراینده تعیین شد. در تحلیل قاب‌ها هفت رکورد شتاب زمان اصلاح شده مورد استفاده قرار گرفت. برای تعیین توزیع ارتفاعی بار زلزله، نخست برش طبقات مختلف سازه به دست آمد. آنگاه از تفاضل نیروی برش موجود در طبقات مجاور، نیروی وارد بر طبقه که بیانگر توزیع ارتفاعی بار زلزله است محاسبه شد. بر اساس نتایج حاصل از تحلیل تعامس قاب‌ها تحت رکوردهای انتخابی، الگوی توزیع ارتفاعی زلزله برای قاب‌های خمشی پیشنهاد شد. نتایج نشان می‌دهد که رابطه پیشنهادی می‌تواند الگوی مناسبی برای توزیع ارتفاعی بار زلزله در تحلیل استاتیکی معادل با درنظر گرفتن رفتار غیرخطی اعضاء باشد.

کلمات کلیدی: توزیع ارتفاعی بار زلزله، قاب خمشی فولادی، تحلیل دینامیکی غیرخطی فراینده، تحلیل استاتیکی معادل

Altitudinal Distribution Pattern of Earthquake Load for Moment Resisting Frames Considering Nonlinear Behavior of Members

Musa Mahmoudi¹, Mohammad Amin Fageh Mineh²

1- Associated Professor, Faculty of Civil Engineering, Shahid Rajaei Teacher Training University, Tehran, Iran

2- M. Sc. in Earthquake Engineering, Faculty of Civil Engineering, Shahid Rajaei Teacher Training University, Tehran, Iran

Abstract

This study aims to investigate distribution of earthquake lateral load along the building's height of moment resisting frames, considering the structure nonlinear effects. For this purpose several case study steel frames including 3, 7, and 15 story frame -which are common for urban areas- are considered. These frames are designed according to Iranian standard codes for steel buildings and Iranian seismic code of practice (Standard No 2800), using the standard equivalent static procedure, for a soil class of II. Thereafter considering seven earthquake ground-motion scaled records, a nonlinear dynamic analysis for each of frames was performed and distribution pattern of shear force was extracted in frame elevation. In order to

* توانسته مسئول: موسی محمودی صاحبی، m.mahmoudi@arttu.edu

تاریخ دریافت مقاله: ۹۶/۰۷/۰۷، تاریخ پذیرش مقاله: ۹۶/۰۷/۲۶

take out a certain and reliable lateral load pattern, the incremental dynamic analysis is used and results are averaged. Eventually considering the effective factors in distribution of earthquake lateral load along the height, the extracted load pattern is simplified and formulated to be practicable. The presented equation shows 95% correspondence with the dynamic analysis results.

Keywords: Altitudinal distribution of earthquake load, Steel moment resisting frame, Nonlinear dynamic analysis, IDA

۱- مقدمه

به دلیل پیشرفت سریع علوم مهندسی زلزله و سازه، آینین نامه های طراحی لرزه‌ای سازه‌ها نیز به سرعت مت حول می شوند. کاستی های موجود در آینین نامه ها نیاز به ارائه خوبی و روابط های جدیدی دارند که می باشد بر مبنای تحلیل های دقیق تر و در نظر گرفتن رفتار واقعی تر سازه ها ارائه شود. علاوه بر علوم مهندسی سازه و زلزله، افزایش کارایی نرم افزار های مربوطه نیز باعث می شود رسیدن به روابط جدید با دقت بالاتر تسهیل شود.

در آینین نامه های طراحی لرزه‌ای رایج، یکی از روش های مجاز برای تحلیل سازه ها، تحلیل استاتیکی معادل است که در آن طراحی براساس مقاومت (نیرو) انجام می شود. در این روش که به روش نیرویی معروف است، نیروی زلزله محاسبه می شود و با یک الگوی ساده در ارتفاع توزیع شده و به سازه اعمال می گردد. در اکثر آینین نامه های طراحی لرزه‌ای، برای توزیع نیروی جانبی زلزله از روابط ساده شده ای که بر اساس مود اول سازه در حالت رفتار خطی حاصل می شود، استفاده می کنند. حال آنکه رفتار واقعی سازه ها در برابر زلزله های شدید غیر خطی می باشد و فرض خطی بودن برای آنها همواره با خطا مواجه خواهد شد.

کرمی و شرقی نشان دادند که استفاده از توزیع حاصل از رفتار خطی لزوماً منجر به پاسخ های مطلوب در سطح عملکرد موردنظر نخواهد شد [۱]. چوپرا با بررسی سازه های برشی تحت اثر رکورد زلزله استرو نشان داد که توزیع بار جانبی آینین نامه UBC1997 [۲] منجر به توزیع یکنواخت شکل پذیری در سازه نمی شود و در بیشتر موارد، طبقه اول بیشترین میزان ضربه شکل پذیری را تجربه می کند [۳].

لی (Lie) و گوئل (Goel) با انجام تحلیل های متعدد بر روی قاب های خمی تک دهانه ۲ تا ۲۰ طبقه نشان دادند که بین برش طبقات ایجاد شده در جین زلزله و برش طبقات فرض شده بر اساس الگوی بار جانبی آینین نامه UBC1997 تفاوت نسبتاً زیادی وجود دارد و لذا الگوی بار جانبی این آینین نامه نمی تواند نماینده خوبی برای شبیه سازی بار زلزله تلقی شود [۴]. کرمی و همکاران روشی برای طراحی سازه های برشی پیشنهاد کردند که استفاده از آن منجر به یکسان شدن شکل پذیری یا گریز جانبی در کلیه طبقات سازه تحت اثر زلزله مشخص می گردد. آنها براساس روش ذکر شده الگوی بارگذاری جانبی خاصی را که تایع زمان تناوب و شکل پذیری سیستم است، ارائه کردند و نشان دادند که استفاده از این الگو در طراحی سازه های برشی منجر به یکنواخت تر شدن شکل پذیری در طبقات سازه نسبت به الگوی بارگذاری آینین نامه UBC1997 می گردد [۵].

مقدم و حاجی رسولیها با استفاده از ۹ الگوی بارگذاری جانبی مختلف، قاب های خمی ۵ طبقه ای را طراحی کردند و عملکرد آنها را در زلزله های مختلف بررسی و مقایسه نمودند. آنها به این نتیجه دست یافتند که تعاض الگوهای بارگذاری باعث توزیع یکنواخت خرابی در این سازه ها نمی شوند. در میان الگوهای بروزی شده تنها الگوی بارگذاری کرمی دارای عملکرد مناسب تری بود [۶].

چار (Chao) و همکاران در سال ۲۰۰۷ با استفاده از روش تحلیل استاتیکی غیر خطی روابط ارائه شده در آینین نامه ها را ارزیابی نمودند و نتیجه گرفتند که روابط موجود در آینین نامه ها نیاز به اصلاح دارند. آنها بر اساس تتابع حاصل از تحقیق، روابط جدیدی برای توزیع ارتفاعی سازه های قابی پیشنهاد نمودند [۷]. در سال ۲۰۰۸ دکوچی (Deguchi) و همکاران رابطه جدیدی با هدف کاهش تغییر مکان نسبی طبقات پیشنهاد نمودند [۸].

حاجی رسویها و مقدم [۹] در سال ۲۰۰۹ رابطه جدیدی برای توزیع بارگذاری ارتفاعی زلزله پیشنهاد نمودند که در آن زمان تناوب سازه و نیاز شکل پذیری سازه مدنظر قرار می‌گیرد. حاجی رسویها و پیلاکوتاس (Pilakoutas) در سال ۲۰۱۲ رابطه جدیدی برای توزیع ارتفاعی زلزله پیشنهاد نمودند و معتقد بودند که استفاده از این روش جدید طراحی را بهینه می‌کند [۱۰]. در سال ۲۰۱۲ مقدم و همکاران با استفاده از تحلیل غیرخطی روابط ارائه شده توزیع ارتفاعی برای قاب‌های فولادی را مورد ارزیابی قرار دادند [۱۱]. کیم (Kim) و همکاران [۱۲] و کرمی [۱۳] در تحقیقات جداگانه‌ای در این زمینه تحقیقات مطلوبی انجام داده‌اند و روابطی برای توزیع بارگذاری ارتفاعی زلزله پیشنهاد نموده‌اند.

براساس مطالعات انجام شده، توزیع ارتفاعی بار زلزله سازه‌ها به عوامل متعددی از قبیل زمان تناوب سازه (تعداد طبقات)، مشخصات زلزله اعمالی، نوع سیستم باربر جانبی، محدوده رفتار سازه (خطی یا غیرخطی) بستگی دارد. یک الگوی مناسب برای توزیع ارتفاعی زلزله در تحلیل استاتیکی خطی باید بتواند تأثیر عوامل مهم را لحاظ نماید. هدف این مقاله، ارزیابی پارامترهای مهم در الگوی بارگذاری و اعمال آن‌ها در رابطه پیشنهادی جدید برای قاب‌های خمشی فولادی است. از مهم‌ترین عوامل تأثیرگذار بر الگوی بارگذاری ارتفاعی سازه‌ها در نظر گرفتن رفتار غیرخطی است که در رابطه پیشنهادی مدنظر قرار می‌گیرد. همچنین ارزیابی روابط موجود برای توزیع ارتفاعی بارگذاری زلزله در آئین نامه‌ها از دیگر اهداف این تحقیق است.

۲- معرفی روابط موجود برای توزیع ارتفاعی بار زلزله

در این قسمت روابطی که بیشتر در آئین نامه‌های طراحی لرزه‌ای برای توزیع ارتفاعی بار زلزله مورد استفاده قرار می‌گیرند ارائه و بررسی می‌شوند.

۲-۱- الگوی ASCE/SEI 7-10

در آخرین نسخه آئین نامه ASCE الگوی بارگذاری جانبی بر اساس رابطه ۱ به دست می‌آید [۱۴]:

$$F_i = \frac{w_i h_i^k}{\sum_{j=1}^n w_j h_j^k} V \quad i=1, 2, 3, \dots, n \quad (1)$$

که در آن W_i وزن طبقه i ام، h_i ارتفاع طبقه i از تراز پایه، V برش پایه، n تعداد طبقات و F_i نیروی جانبی در طبقه i ام هستند. همچنین، کا از رابطه ۲ به دست می‌آید:

| | | |
|----------------|--------------------|-----|
| 1 | $T < 0.5$ | (۲) |
| 0.5 $T + 0.75$ | $0.5 \leq T < 2.5$ | |
| 2 | $T \geq 2$ | |

در رابطه ۲ پارامتر T برابر دوره تناوب سازه است.

در دستورالعمل بهسازی لرزه‌ای سازه‌های موجود (نشریه ۳۱۰) [۱۵] و آئین نامه طراحی لرزه‌ای ساختمان‌ها (استاندارد ۲۸۰۰، ویرایش چهارم) [۱۶] برای توزیع ارتفاعی بارگذاری زلزله از رابطه ۱ استفاده می‌شود.

۲-۲- الگوی بارگذاری ارتفاعی استاندارد ۲۸۰۰ ویرایش سوم

در استاندارد ۲۸۰۰ ویرایش سوم، توزیع ارتفاعی بارگذاری زلزله با استفاده از رابطه ۳ انجام می‌شود [۱۷].

$$F_i = \frac{w_i h_i}{\sum_{j=1}^n w_j h_j} (V - F_t) \quad i=1, 2, 3, \dots, n \quad (3)$$

که در آن W_i وزن طبقه i ، h_i ارتفاع طبقه i از تراز پایه، V برش پایه، n تعداد طبقات، F_t نیروی جانبی در طبقه i و F_e نیروی جانبی اضافی در طبقه i (نیروی شلاقی) است که از رابطه ۴ بدست می‌آید.

$$F_e = 0.07 T.V \quad (4)$$

T دوره تناوب سازه و V برش پایه است.

۳-۲- الگوی متناسب با مود اول

در بعضی از آینه نامه ها توزیع متناسب با شکل مود اول ارتعاش سازه برای توزیع ارتفاعی بار زلزله پیشنهاد شده است [۱۶]. بر اساس این توزیع، نیروی زلزله از رابطه ۵ بدست می‌آید:

$$\Delta F_i = \frac{W_i \emptyset_{i1}}{\sum_{i=1}^n W_i \emptyset_{i1}} \Delta V \quad (5)$$

که در آن \emptyset_{i1} مؤلفه های شکل مود اول سازه می‌باشد.

۴- توزیع یکنواخت

در الگوی توزیع یکنواخت نیروی زلزله، توزیع فقط براساس وزن طبقات انجام می‌شود و در صورت مساوی بودن وزن طبقات، بار ناشی از زلزله در طبقات نیز مساوی خواهد بود. توزیع نیروی زلزله از رابطه ۶ به دست می‌آید:

$$F_i = \frac{W_i}{\sum_{i=1}^n W_i} V \quad (6)$$

این الگو در آینه نامه های مختلف از جمله دستورالعمل بهسازی لرزه ای [۱۶] برای توزیع ارتفاعی نیروی زلزله معروفی شده است.

۳- روش تحقیق

همان گونه که بیان شد، هدف این تحقیق ارائه یک رابطه جدید برای توزیع ارتفاعی بار زلزله در قاب های خمی فولادی است. برای این منظور چندین قاب ۳، ۵، ۷، ۱۰ و ۱۵ طبقه با ارتفاع طبقه ۳ متر انتخاب شدند و بر اساس آینه نامه های رایج کشور تحلیل و طراحی شدند. پس از طراحی قاب ها تمامی آنها تحت هفت رکورد شتاب زمان به روش دینامیکی تاریخچه زمانی غیرخطی فراینده مورد تحلیل قرار گرفتند. در تحلیل دینامیکی تاریخچه زمانی غیرخطی فراینده، مقدار شتاب ماقزیم در رکوردها به تدریج افزایش می‌یابد تا اولین نقطه در سازه به عملکرد اینمی جانی (LS) برسد.

۳-۱- صحبت مبنی تحقیق

در این تحقیق از نرم افزار SAP2000 برای تحلیل تاریخچه زمانی غیرخطی قاب ها استفاده شد. برای اطمینان از نتایج تحقیق، نرم افزار ABAQUS بکار گرفته شد. بدین منظور برای هر یک از قاب ها دو تحلیل به کمک نرم افزارهای فوق انجام شد و نتایج حاصل از آن ها با هم مقایسه شد تا صحبت اطلاعات حاصل تائید شود. در مقایسه نتایج، برش پایه ماقزیم و تغییر مکان جانبی ماقزیم حاصل از تحلیل های تاریخچه زمانی سازه ها مدنظر قرار گرفت. پس از اطمینان از صحبت تحلیل انجام شده بر اساس نرم افزار SAP2000 ادامه تحقیق برای حالت های مختلف قاب انجام شد.

۳-۲- مشخصات مدل‌های انتخابی

در جدول ۱ مشخصات مقاطع قاب‌ها، ارتفاع طبقات، مقاطع تیرها و ستون‌ها ارائه شده است. برای جلوگیری از طولانی شدن بحث، فقط نتایج مربوط به قاب‌های ۳، ۷ و ۱۵ طبقه در این مقاله ارائه شده است.

۳-۳- رکوردهای شتاب زمان

در این تحقیق هفت رکورد شتاب زمان برای تحلیل تاریخچه زمانی استفاده شد و میانگین نتایج آنها برای پردازش اطلاعات بکار گرفته شد. در جدول ۲ مشخصات رکوردهای مورد استفاده ارائه شده است.

۳-۴- مراحل تعیین الگوی بارگذاری ارتفاصلی

در این قسمت مراحل تعیین الگوی بارگذاری به صورت کامپیوگام ارائه می‌شود.

گام اول: انتخاب یکی از مدل‌های طراحی شده

از بین مدل‌های مورد مطالعه (قاب‌های ۳، ۵، ۷، ۱۰ و ۱۵)، یک قاب برای انجام تحلیل دینامیکی فراینده انتخاب می‌شود.

جدول ۱: مشخصات مدل‌های انتخابی

| قاب | طبقه | طبقه | مقاطع ستون‌ها (ایجاد به سانتی‌متر) |
|---------|---------|---------|---------------------------------------|
| ۳ طبقه | سوم | دوم | IPB28 |
| | دوم | اول | IPB28 |
| | اول | اول | IPB28 |
| ۷ طبقه | هفتم | ششم | IPB28 |
| | ششم | پنجم | IPB28 |
| | پنجم | چهارم | IPB28 |
| | چهارم | سوم | IPB28 |
| | سوم | دوم | IPB28 |
| | دوم | اول | IPB28 |
| | اول | اول | IPB28 |
| ۱۵ طبقه | پانزدهم | چهاردهم | IPB28 |
| | چهاردهم | سیزدهم | IPB28 |
| | سیزدهم | دوازدهم | IPB28 |
| | دوازدهم | یازدهم | IPB28 |
| | یازدهم | دهم | IPB28 |
| | دهم | نهم | IPB28 |
| | نهم | هشتم | IPB30 |
| | هشتم | هفتم | IPB30 |
| | هفتم | ششم | IPB30 |
| | ششم | پنجم | IPB30 |
| | پنجم | چهارم | IPB30 |
| | چهارم | سوم | IPB30 |

| | | | |
|------------|-------|-----|--|
| BOX40*40*4 | IPB30 | اول | |
|------------|-------|-----|--|

جدول ۲: رکوردهای مورد استفاده در تحلیل‌ها

| MS | M | اسنگاه | نام زلزله و تاریخ وقوع |
|-----|-----|---------------------------------|----------------------------|
| V/I | V/I | 24 Lucerne | Landers 1992/06/28 |
| V/I | V/I | Gilroy 57425 | Loma Prieta 1989/10/18 |
| V/I | V/I | 89540 Shelter Cove Airport | Cape Mendocino 1992/04/25 |
| V/I | V/I | 5043 Hurkey Creek Park | N. Palm Springs 1986/07/08 |
| V/I | V/I | 24278 Castaic - Old Ridge Route | Northridge 1994/01/17 |
| V/I | V/I | 24278 Castaic - Old Ridge Route | San Fernando 1971/02/09 |
| V/I | V/I | 9101, Tabas, Data Source | Tabas 1978/09/16 |

گام دوم: انتخاب یکی از رکوردهای مدنظر

از بین هفت رکورد مورد استفاده در این تحقیق که مشخصات آنها در جدول ۲ ارائه شده است، یک رکورد انتخاب می‌شود.

گام سوم: مقایس کردن رکورد

رکورد انتخابی به گونه‌ای مقایس می‌شود که در آن حداقل شتاب زلزله $g = 0.05$ باشد و بقیه مقادیر شتاب رکورد به همین نسبت اصلاح می‌شود.

گام چهارم: انجام تحلیل دینامیکی تاریخچه زمانی غیرخطی

برای قاب انتخابی تحت رکورد موردنظر، یک تحلیل دینامیکی تاریخچه زمانی غیرخطی توسط نرم‌افزار SAP2000 [۱۸] انجام می‌شود. باید به این نکته توجه داشت که با توجه به کوچک بودن دامنه شتاب در رکورد، در این حالت سازه در محدوده خطی باقی می‌ماند.

گام پنجم: تعیین برش پایه حداقل

برای تحلیل انجام شده، مقدار برش پایه ماکریم استخراج می‌شود و بر اساس آن برش هر طبقه تعیین می‌شود. توزیع بارگذاری ارتفاعی تحت رکورد اعمالی از تفاضل برش‌های پایه دو طبقه مجاور تعیین می‌گردد.

گام ششم: تکرار گام‌های چهارم و پنجم برای رکورد اعمالی با مقایس‌های جدید

در این گام مقدار دامنه شتاب ماکریم در رکورد شتاب زمان بدتریح افزایش می‌باید و در هر مرحله توزیع ارتفاعی بارگذاری زلزله متناظر با برش پایه ماکریم تعیین شده و ثبت می‌گردد. افزایش دامنه شتاب، آنقدر ادامه می‌باید تا سازه از محدوده خطی خارج شده و اورد محدوده غیرخطی شود. در محدوده غیرخطی نیز تحلیل دینامیکی تاریخچه زمانی فراینده ادامه داده می‌شود تا سازه از محدوده عملکرد فروریزش (CP) عبور کند. در طی این مراحل، تحلیل‌های متناظر با قابلیت بهره‌برداری (IO)، ایمنی جانی (LS) و آستانه

فروریزش (CP) با نگاه ویژه مدنظر قرار می‌گیرد.

گام هفتم: تکرار گام‌های دوم تا ششم برای رکوردهای دیگر گام‌های دوم تا ششم برای ۶ رکورد دیگر تکرار می‌شود و برای هر یک از مقیاس‌های رکورد شتاب-زمان، میانگین‌گیری می‌شود و توزیع ارتفاعی نهایی تعیین می‌شود.

گام هشتم: تکرار گام‌های اول تا هفتم برای قاب‌های جدید تمام مراحل هفت گانه برای دو قاب دیگر نیز تکرار می‌شود و توزیع ارتفاعی آنها در هر گام مربوط به شتاب ماکریم تعیین می‌شود.

گام نهم: صحت سنجی نتایج برای هر قاب یک تحلیل تاریخچه زمانی غیرخطی برای هریک از قاب‌ها و رکورد مربوطه با استفاده از نرم‌افزار ABAQUS [۱۹] انجام می‌شود و نتایج به دست آمده با نتایج میانگین‌گیری شده حاصل از تحلیل‌های قبلی که توسط نرم‌افزار SAP2000 انجام شده بود مقایسه می‌گردد تا صحت اطلاعات حاصل تأیید شود.

گام دهم: تعیین الگوی بارگذاری نهایی با توجه به نتایج حاصل از قاب‌های مختلف، رکوردهای به مقیاس درآمده در حالت‌های خطی و غیرخطی، الگوی بارگذاری ارتفاعی با روش معنی و خطأ تعیین می‌شود.

۴- پردازش نتایج

نتایج حاصل از تحلیل‌ها نشان می‌دهد که الگوهای بارگذاری تا رسیدن به مرحله IO برای تمامی رکوردها تقریباً مشابه بوده و تغییرات قابل ملاحظه‌ای در توزیع ارتفاعی وجود ندارد. با ورود به مرحله غیرخطی، الگوی بارگذاری در مقایسه با مرحله خطی متفاوت خواهد بود و با دور شدن از عملکرد LS و نزدیک شدن به عملکرد CP، توزیع بارگذاری بسیار نامنظم‌تر تغییر می‌کند. مطابق مشاهدات انجام شده، توزیع بارگذاری در محدوده عملکردی LS شرایط تقریباً پایداری دارد و می‌توان برای آن یک الگوی خامن پیشنهاد نمود. با پیشروی به محدوده LS میزان پراکندگی نتایج بیشتر می‌شود و از آنجائی که هدف این تحقیق ارائه الگوی بارگذاری برای عملکرد LS است لذا پراکندگی نتایج بعد از عملکرد LS مشکل خاصی پیش نمی‌آورد.

۵- رابطه پیشنهادی

با توجه به نتایج به دست آمده از تحلیل‌ها، الگویی برای توزیع نیروی زلزله در ارتفاع سازه ارائه می‌گردد. الگویی که در این تحقیق ارائه می‌شود بر پایه چهار متغیر استوار است. وزن طبقه، ارتفاع سازه، شکل مود اول و زمان تناوب سازه جزو متغیرهایی هستند که در الگوی ارائه شده در این تحقیق مؤثر هستند. با توجه به متغیرهای فوق و با روش معنی و خطأ رابطه‌ای پیشنهاد شد تا کمترین خطأ را نسبت به نتایج تحلیل داشته باشد. این الگوی پیشنهادی بر اساس رابطه ۷ انجام می‌شود.

$$F_i = C_i V \quad (7)$$

که در آن F_i نیروی اعمالی برای طبقه i ام، V برش پایه حاصل از زلزله و C_i ضریب برش پایه بوده و به صورت رابطه ۸ تعیین می‌گردد.

$$C_i = \frac{\theta_{ij}^f w_j h_i}{\sum_{j=1}^n \theta_{ij}^f w_j h_j} \quad i=1, 2, 3, \dots, n \quad (8)$$

که در آن Φ_{11} مقدار شکل مود اول در طبقه ۱ است، w_i وزن طبقه ۱ است، h_i ارتفاع طبقه ۱ است (h_i ارتفاع تراز پایه نیست) و f یک ضریب وابسته به زمان تناوب است که از رابطه ۹ به دست می‌آید.

$$0.5 \leq f = T \leq 1.5 \quad (9)$$

مقدار f نباید از $1/5$ کمتر و از $1/5$ بیشتر اختیار شود.

بر این اساس برای توزیع نیروی جانبی برای ساختمان‌ها با زمان تناوب کوچک‌تر یا مساوی $1/5$ ثانیه، ضریب f برابر $1/5$ اختیار می‌شود و توزیع نیروی جانبی در ارتفاع به شکل تقریباً یکنواخت خواهد بود. در ساختمان‌های با زمان تناوب بزرگ‌تر یا مساوی $1/5$ ثانیه، اثر مودهای بالاتر قابل ملاحظه است و برای اینکه توزیع نیروی جانبی با این پذیره مطابقت داشته باشد، مقدار ضریب f برابر $1/5$ در نظر گرفته می‌شود. طبقات بالا، سهم بیشتری از نیروی زلزله را خواهند داشت و درنتیجه با افزایش ارتفاع، توزیع نیروی جانبی از خط مستقیم به منحنی تبدیل می‌گردد.

۶- ارزیابی رابطه پیشنهادی

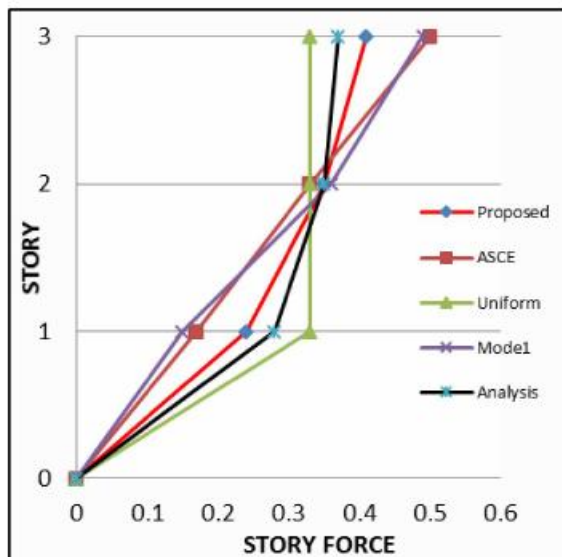
برای ارزیابی رابطه پیشنهادی، نتایج حاصل از این رابطه برای توزیع ارتفاعی بار زلزله با نتایج حاصل از روابط دیگر مقایسه شده است. برای این منظور توزیع بارگذاری قاب‌های ۳، ۷ و ۱۵ طبقه یکبار با استفاده از رابطه پیشنهادی این تحقیق و بار دیگر به کمک روابط موجود مقایسه گردید. برای مقایسه از روابط پیشنهادی ASCE، توزیع یکنواخت، توزیع متناسب با مود اول و توزیع دقیق حاصل از تحلیل تاریخچه زمانی غیرخطی استفاده شده است.

۶-۱- قاب سه طبقه

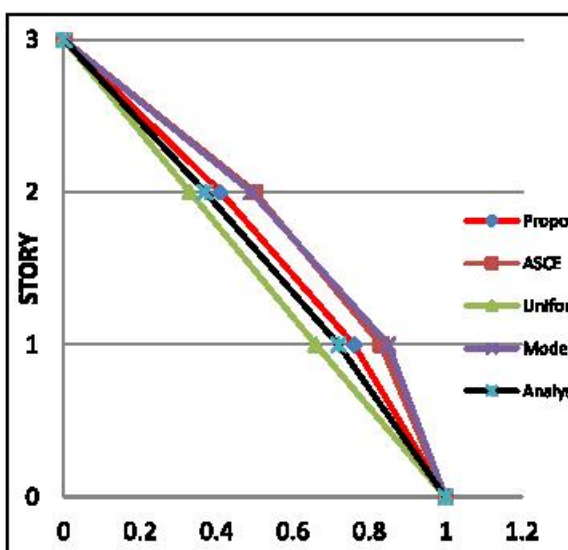
من از اینکه قاب سه طبقه طراحی شد، شکل مود اول آن محاسبه شد. در جدول ۳ مقدار نسبی شکل مود اول این قاب در ستون دوم نشان داده شده است. در ستون سوم این جدول وزن واحد طول قاب دوی بعدی ارائه گردید. در ستون چهارم جدول، ارتفاع هر طبقه بیان شد. در ستون‌های پنجم تا نهم مقدار نسبی بارگذاری ارتفاعی به ترتیب براساس رابطه پیشنهادی این تحقیق، رابطه پیشنهادی ASCE، براساس توزیع یکنواخت، براساس شکل مود اول و براساس نتایج تحلیل تاریخچه زمانی غیرخطی ارائه گردید. این مقدار به صورت نموداری در شکل ۱ نشان داده شده است. با مشاهده جدول ۳ و شکل ۱ می‌توان نتیجه گرفت که علی‌رغم یکسان بودن نسبت مربوط به طبقه دوم، مقدار مربوط به طبقه اول و سوم دارای اختلاف قابل ملاحظه‌ای است. همان‌گونه که مشاهده می‌شود توزیع حاصل از این تحقیق بیشترین انطباق را با توزیع حاصل از تحلیل دینامیکی تاریخچه زمانی دارد. در شکل ۲ نمودار توزیع برش طبقات نشان داده شده است. با مقایسه این منحنی‌ها می‌توان صحت رابطه پیشنهادی این تحقیق را تأیید کرد. توزیع ارتفاعی برای این قاب (قاب‌های دارای زمان تناوب پایین)، به الگوی مثلثی نزدیک است.

جدول ۳- ضریب توزیع نیروی زلزله در قاب سه طبقه

| Story | Mode 1 | weight (kg/m) | height (m) | $\frac{\Phi_{11}^f w_i h_i}{\sum_{j=1}^n \Phi_{j1}^f w_j h_j}$ | $\frac{w_i h_i^k}{\sum_{j=1}^n w_j h_j^k}$ | $\frac{w_i}{\sum_{j=1}^n w_j}$ | $\frac{\Phi_{11}^f w_i}{\sum_{j=1}^n \Phi_{j1}^f w_j}$ | TIME HISTORY |
|-------|--------|---------------|------------|--|--|--------------------------------|--|--------------|
| ۳ | ۱ | ۲۰۰۰ | ۳ | ۰/۴۱ | ۰/۰ | ۰/۳۳۳ | ۰/۴۴ | ۰/۳۷ |
| ۲ | ۰/۳۳ | ۲۰۰۰ | ۲ | ۰/۳۶ | ۰/۳۳ | ۰/۳۳۳ | ۰/۳۶ | ۰/۳۵ |
| ۱ | ۰/۳۷ | ۲۰۰۰ | ۳ | ۰/۲۴ | ۰/۱۷ | ۰/۳۳۳ | ۰/۱۵ | ۰/۲۸ |



شکل ۱: نمودار توزیع نیروی زلزله در قاب سه طبقه



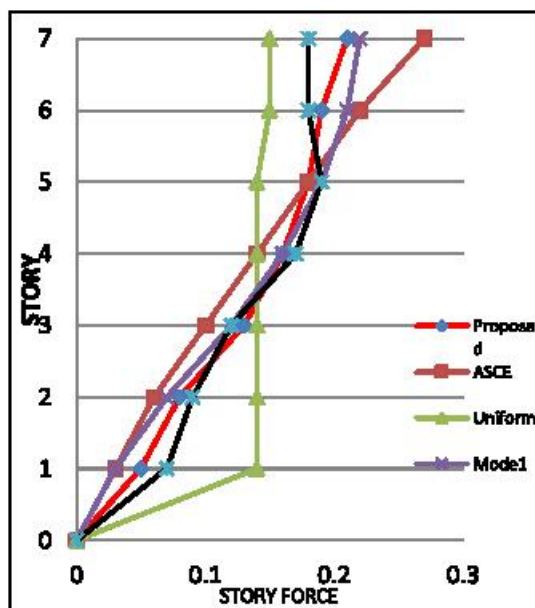
شکل ۲: نمودار توزیع نیروی برشی در قاب سه طبقه

۶-۲- قاب هفت طبقه

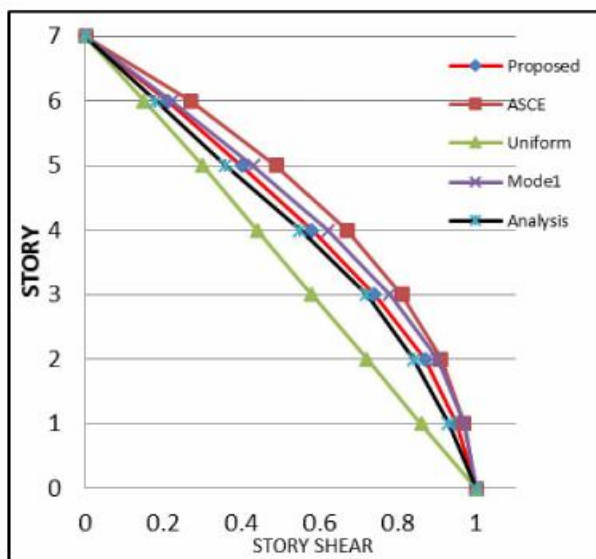
در جدول ۴ ضریب توزیع نیروی زلزله برای قاب هفت طبقه نشان داده شده است. همچنین رسم نموداری آن در شکل ۳ ارائه گردیده است. در این حالت الگوی بار یکنواخت، اختلاف زیادی با دیگر الگوها دارد. الگوی پیشنهادی در این تحقیق و الگوی متناسب با شکل مود اول به مقادیر حاصل از تحلیل بسیار نزدیک هستند. نتایج حاصل از تحلیل نشان می‌دهد که طبقات میانی سهم بالایی از مقدار نیروی زلزله را دارند. همچنین براساس شکل ۳ می‌توان ادعا کرد که در روش پیشنهادی ASCE اثر شلاقی بیشتر لحاظ می‌شود. در این حالت الگوی حاصل از آیین نامه ASCE خود را به نتایج تحلیل نزدیک کرده است. شکل ۴ اختلاف الگوی یکنواخت را با نتایج حاصل از تحلیل نشان می‌دهد. شکل ۴ نشان گرفته است که رابطه پیشنهادی در این تحقیق بعنوان میانگین حاصل از تمامی روابط عمل می‌کند.

جدول ۱: خریب توزیع نیروی زلزله در قاب هفت طبقه

| Story \ Mode 1 | Mode 1 | weight (kg/m) | height (m) | $\frac{\phi_{i,j}^f w_i h_i}{\sum_{j=1}^n \phi_{i,j}^f w_j h_j}$ | $\frac{w_i h_i^k}{\sum_{j=1}^n w_j h_j^k}$ | $\frac{w_i}{\sum_{j=1}^n w_j}$ | $\frac{\phi_{i,j} w_i}{\sum_{j=1}^n \phi_{i,j} w_j}$ | TIME HISTORY |
|----------------|--------|---------------|------------|--|--|--------------------------------|--|--------------|
| V | 1 | 7500 | 2 | 0.11 | 0.37 | 0.10 | 0.22 | 0/1A |
| 1 | 0.10 | 7500 | 2 | 0.14 | 0.37 | 0.10 | 0.21 | 0/1A |
| 0 | 0.10 | 7500 | 2 | 0.16 | 0.38 | 0.10 | 0.19 | 0/1A |
| -1 | 0.17 | 7500 | 2 | 0.13 | 0.36 | 0.10 | 0.13 | 0/1A |
| -2 | 0.13 | 7500 | 2 | 0.12 | 0.34 | 0.10 | 0.12 | 0/1A |
| -3 | 0.12 | 7500 | 2 | 0.14 | 0.33 | 0.10 | 0.08 | 0/1A |
| -4 | 0.13 | 7500 | 2 | 0.10 | 0.37 | 0.10 | 0.03 | 0/1A |



شکل ۳: نمودار توزیع نیروی زلزله در قاب هفت طبقه



شکل ۴: نمودار توزیع نیروی برش در قاب هفت طبقه

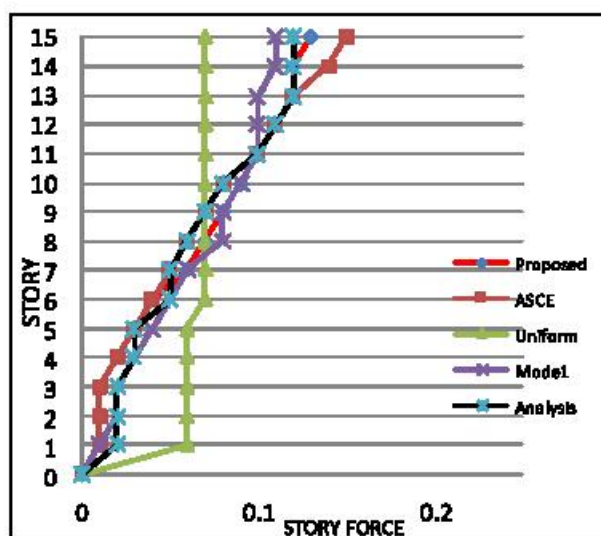
۳-۶- قاب پانزده طبقه

در جدول ۵ ضرایب مربوط به توزیع نیروی زلزله در قاب ۱۵ طبقه مشاهده می‌شود. ترسیم نموداری این توزیع در شکل‌های ۵ و ۶ نشان داده شده است. در این حالت الگوی پیشنهادی این تحقیق و آین نامه ASCE مقادیر پیشتری را برای طبقات فوقانی در نظر می‌گیرند و بیشترین انطباق را با نتایج تحلیل دارند. در این حالت نیز الگوی بار یکنواخت، اختلاف زیادی با دیگر الگوها دارد. نتایج نشان می‌دهد که روش ASCE در طبقات پائین، حد پائین و در طبقات بالا، حد بالای روش‌ها محاسبه می‌شود. همچنین براساس شکل ۵ می‌توان ادعا کرد که در روش پیشنهادی ASCE اثر شلاقی بیشتر لحاظ می‌شود. شکل ۶ نشان‌گر این است که رابطه پیشنهادی در این تحقیق بدغونان میانگین حاصل از تمامی روابط عمل می‌کند. توزیع ارتفاعی برای این قاب (قاب با زمان تنابوب بالا)، به الگوی سه‌می نزدیک‌تر است. با مقایسه نتایج حاصل از قاب‌های سه، هفت و پانزده طبقه می‌توان گفت با افزایش زمان تنابوب سازه (افزایش ارتفاع سازه)، سهم طبقات فوقانی از نیروی زلزله افزایش می‌یابد یعنی برای زمان تنابوب‌های بین ۰/۰ تا ۱/۰ ثانیه، توزیع نیرو در حالت گذار از حالت مثلثی به سه‌می است.

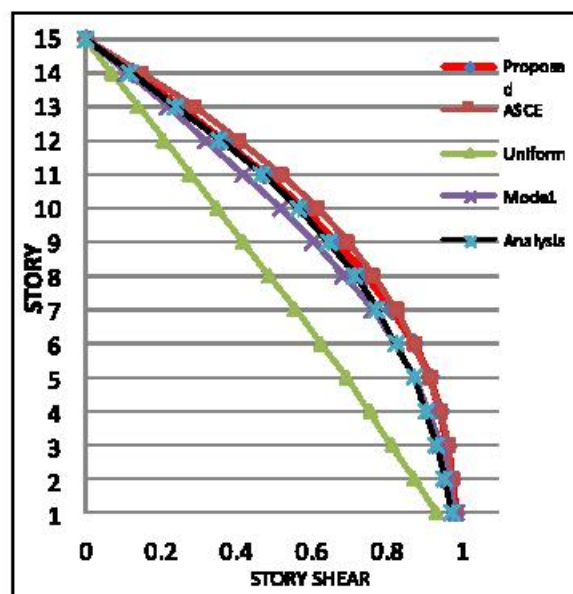
جدول ۵: ضریب توزیع نیروی زلزله در قاب پانزده طبقه

| Story \ Mode 1 | Mode 1 | weight (kg/m) | height (m) | $\frac{\phi_{j_1}^f w_j h_j}{\sum_{j=1}^n \phi_{j_1}^f w_j h_j}$ | $\frac{w_j h_j^k}{\sum_{j=1}^n w_j h_j^k}$ | $\frac{w_j}{\sum_{j=1}^n w_j}$ | $\frac{\phi_{j_1} w_j}{\sum_{j=1}^n \phi_{j_1} w_j}$ | TIME HISTORY |
|-------------------|-----------|------------------|---------------|--|--|--------------------------------|--|-----------------|
| 15 | 1 | ۲۰۰۰ | ۳ | ۰/۱۴ | ۰/۱۰ | ۰/۰۷ | ۰/۱۱ | ۰/۱۲ |
| 14 | ۰/۹۸ | ۲۰۰۰ | ۳ | ۰/۱۲ | ۰/۱۶ | ۰/۰۷ | ۰/۱۱ | ۰/۱۲ |
| 13 | ۰/۹۴ | ۲۰۰۰ | ۳ | ۰/۱۲ | ۰/۱۲ | ۰/۰۷ | ۰/۱۰ | ۰/۱۲ |
| 12 | ۰/۹۰ | ۲۰۰۰ | ۳ | ۰/۱۱ | ۰/۱۱ | ۰/۰۷ | ۰/۱۰ | ۰/۱۱ |
| 11 | ۰/۸۷ | ۲۰۰۰ | ۳ | ۰/۱۰ | ۰/۱۰ | ۰/۰۷ | ۰/۱۰ | ۰/۱۰ |
| 10 | ۰/۸۴ | ۲۰۰۰ | ۳ | ۰/۰۹ | ۰/۰۸ | ۰/۰۷ | ۰/۰۹ | ۰/۱۰ |
| 9 | ۰/۸۱ | ۲۰۰۰ | ۳ | ۰/۰۸ | ۰/۰۷ | ۰/۰۷ | ۰/۰۸ | ۰/۰۷ |

| A | ۱/۲۰ | ۲/۲۰ | ۳ | ۴/۲۰ | ۵/۲۰ | ۶/۲۰ | ۷/۲۰ | ۸/۲۰ |
|---|------|------|---|------|------|------|------|------|
| V | ۱/۲۰ | ۲/۲۰ | ۳ | ۴/۲۰ | ۵/۲۰ | ۶/۲۰ | ۷/۲۰ | ۸/۲۰ |
| ۳ | ۱/۲۰ | ۲/۲۰ | ۳ | ۴/۲۰ | ۵/۲۰ | ۶/۲۰ | ۷/۲۰ | ۸/۲۰ |
| ۰ | ۱/۲۰ | ۲/۲۰ | ۳ | ۴/۲۰ | ۵/۲۰ | ۶/۲۰ | ۷/۲۰ | ۸/۲۰ |
| E | ۱/۲۰ | ۲/۲۰ | ۳ | ۴/۲۰ | ۵/۲۰ | ۶/۲۰ | ۷/۲۰ | ۸/۲۰ |
| T | ۱/۲۰ | ۲/۲۰ | ۳ | ۴/۲۰ | ۵/۲۰ | ۶/۲۰ | ۷/۲۰ | ۸/۲۰ |
| Y | ۱/۲۰ | ۲/۲۰ | ۳ | ۴/۲۰ | ۵/۲۰ | ۶/۲۰ | ۷/۲۰ | ۸/۲۰ |
| I | ۱/۲۰ | ۲/۲۰ | ۳ | ۴/۲۰ | ۵/۲۰ | ۶/۲۰ | ۷/۲۰ | ۸/۲۰ |



شکل ۵: نمودار توزیع نیروی زلزله در قاب پالزده طبقه



شکل ۶: نمودار توزیع نیروی برش در قاب پالزده طبقه

همان گونه که اشاره شد در این تحقیق ۵ قاب سه، پنج، هفت، ده و پانزده طبقه مدنظر قرار گرفت و بر اساس نتایج حاصل از آنها رابطه جدید پیشنهاد شد. این قاب‌ها به این دلیل انتخاب شدند تا محدوده‌ی کاملی از سازه‌های کوتاه (سه و پنج طبقه)، متوسط (هفت و ده طبقه) و بلند (پانزده طبقه) مورد ارزیابی قرار گرفته باشد. لذا می‌توان ادعا کرد نتایج حاصل از این تحقیق برای طیف وسیعی از سازه‌ها قابل تعمیم است. رابطه پیشنهادی برای توزیع بارگذاری زلزله برای قاب‌های دیگری به غیراز سازه‌های مورد استفاده در این تحقیق مورد ارزیابی قرار گرفت و نتایج مطلوب حاصل شد.

۷- نتیجه گیری

در این تحقیق با در نظر گرفتن رفتار غیرخطی اعضاء، یک رابطه جدید برای توزیع بارگذاری زلزله در ارتفاع پیشنهاد شده است. برای نیل به این هدف چندین قاب خمشی ۳، ۵، ۷، ۱۰ و ۱۵ طبقه طراحی شده بر اساس آینه‌های رایج کشور انتخاب شدند و توزیع بارگذاری ارتفاعی آنها با استفاده از تحلیل تاریخچه‌زمانی غیرخطی فراینده تعیین شد. در تحلیل قاب‌ها هفت رکورده ستاب زمان اصلاح شده مورد استفاده قرار گرفت. برای تعیین توزیع ارتفاعی بار زلزله، نخست برش طبقات مختلف سازه به دست آمد. آنگاه از تفاضل نیروی برشی موجود در طبقات مجاور، نیروی وارد بر طبقه که بیانگر توزیع ارتفاعی بار زلزله است محاسبه شد. براساس نتایج حاصل از تحلیل تمامی قاب‌ها تحت رکوردهای انتخابی، الگوی توزیع ارتفاعی زلزله برای قاب‌های خمشی پیشنهاد شد. نتایج حاصل از تحقیق به شرح زیر است:

- ۱- با افزایش زمان تناوب سازه (افزایش ارتفاع سازه)، سهم طبقات فوقانی از نیروی زلزله افزایش می‌یابد.
- ۲- برای زمان تناوب‌های بین ۰/۵ تا ۱/۵ ثانیه، توزیع نیرو در حالت گذار از حالت مثلى به سهمی است.
- ۳- الگوی توزیع ارتفاعی مثلى برای قاب‌های با زمان تناوب پایین، جواب‌های بهتری می‌دهد و الگوی سهمی برای قاب‌های با زمان تناوب بالا مناسب‌تر است.
- ۴- الگوی پیشنهادی این تحقیق در تمامی حالات انطباق مناسب با نتایج حاصل از تحلیل دارد. رابطه پیشنهادی به گونه‌ای است که برای قاب‌های کوتاه، الگوی مثلى و برای قاب‌های بلند مرتبه، الگوی سهمی در نظر می‌گیرد.

۸- مراجع

- [۱] کرمی محمدی، ر، شرقی، ا، (۱۳۹۳)، طراحی لرزه‌ای قاب‌های خمشی بر اساس الگوهای بار جانبی گرانگون و مقایسه آنها با طرح پهنه، مجله علمی پژوهشی صمران مدرس، دوره چهاردهم، شماره ۱، صفحات ۷۳ تا ۸۴، بهار ۱۳۹۳.
- [۲] International Council of Building Officials, *Uniform building code UBC, Structural engineering design provision*, 1997
- [۳] Chopra, A., *Dynamic of structures: Theory and application to earthquake*, 2nd edition, Prentice Hall Inc., London, 2001.
- [۴] Lee, S.S., and Goel, S.C., Performance based seismic design of structure using target drift and yield mechanism, US-Japan seminar on Advanced stability and seismicity concept for performance based design of steel and composite structure, Kyoto, Japan, 2001.
- [۵] Karami Mohamadi, R., El-Naggar, M.H., and Moghadam, H., Optimum Strength distribution seismic resistance shear-building, *International journal of solid and structure*, 41, p 6597-6612, 2004.
- [۶] Moghadam, H., and Hajirasoliha, I., Toward more rational criteria for determination of design earthquake force, *International journal of solid and structure*, 43, p 2631-2645, 2006
- [۷] Chao, Sh., Goel, S.C., and Lee, S.S., A Seismic Design Lateral Force Distribution Based on Inelastic State of Structures. *Earthquake Spectra*: August 2007, Vol. 23, No. 3, pp. 547-569, 2007.
- [۸] Deguchi, Y., Kawashima, T., Yamamari, M., and Ogawa, K., Seismic design load distribution in steel frames, 14th World Conference on earthquake engineering, Beijing , China, 2008.
- [۹] Hajirasoliha, I. and Moghaddam, H., A new lateral force distribution for seismic design of structures, *J. Structural Eng.*, 135 (8), 906-915.

- [10] Hajirasouliha, I., Pilakoutas, K., General seismic load distribution for optimum performance-based design of shear-buildings, *Journal of Earthquake Engineering*, 16(4), 443-462, 2012.
- [11] Moghaddam, H., Hosseini Gelekolai, S.M., Hajrasouliha, I., Tajalli, F., Evaluation of Various Proposed Lateral Load Patterns for Seismic Design of Steel Moment Resisting Frames, The 15th World Conference on Earthquake Engineering, Lisbon, Portugal, 2012.
- [12] Kim S.E., Lee, D.H., Cuong N.H., Shaking table tests of a two-story unbraced steel frame, *Journal of constructional steel Research*, 63, p412-421, 2007.
- [13] Karimi Mohamadi, R., Optimum distribution of dynamic characteristics within the structure to reduce seismic damage, PH.D. dissertation, Civil Engineering department, Sharif University of Technology, 2001.
- [14] American Institute of Steel Construction (AISC), *ANSI/AISC 360-10, Specification for structural steel buildings*, Chicago, 2010.
- [۱۵] معاونت برنامه‌ریزی و نظارت راهبردی رئیس جمهور، دستورالعمل بهسازی لرزه‌ای ساختمان‌های موجود نشریه ۳۷۰، ۱۳۹۲.
- [۱۶] مرکز تحقیقات ساختمان و مسکن، طراحی ساختمان‌ها در برابر زلزله، ویرایش چهارم (استاندارد ۲۸۰۰)، ۱۳۹۳.
- [۱۷] مرکز تحقیقات ساختمان و مسکن، طراحی ساختمان‌ها در برابر زلزله، ویرایش سوم (استاندارد ۲۸۰۰)، ۱۳۸۴.
- [18] Computers and Structures Inc., *CSI Analysis Reference Manual for SAP2000, ETABS, SAFE and CSiBridge*, 2013.
- [19] SIMULIA, *Abaqus analysis user's manual, Version 6.11..* USA, 2011.